

# روشی جدید برای تعیین ضریب تقسیم جریان اتصال زمین در طراحی پستهای فشار قوی

سیدمحمدشهرتاش و نبی‌اله رضانی

**چکیده:** یکی از پارامترهای مهم در طراحی سیستم زمین پستهای فشار قوی، جریان اتصال کوتاه وارد شده به سیستم زمین پست موردنظر است. برای محاسبه این جریان (و یا نسبت دامنه آن به دامنه جریان اتصال زمین که ضریب تقسیم جریان نامیده می‌شود) باید کلیه مسیرهای موازی با سیستم زمین پست که جریان اتصال زمین می‌تواند از آنها عبور کند مدلسازی شده و لحاظ گردند. در این مقاله روشی جدید، کاربردی، ساده و دقیق برای محاسبه ضریب تقسیم جریان اتصال زمین، بادرنگرفتن تاثیر مقاومت شبکه زمین پستهای مجاور، مقاومت پای دکلهای خطوط انتقال همسان و غیرهمسان، سیمهای زمین متعدد و همچنین با اسپنهای متفاوت متصل به پست ارائه گردیده است و صحت روش در حالات مختلف با سایر روشها مقایسه و اثبات شده است.

**واژه‌های کلیدی:** ضریب تقسیم جریان اتصال زمین، ولتاژ گام و تماس، شبکه زمین، پستهای فشارقوی

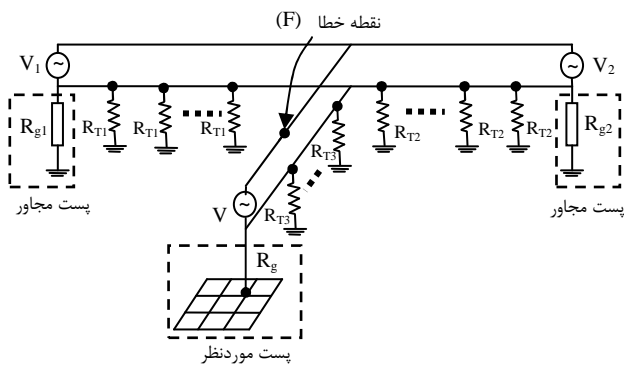
خطوط و شبکه زمین پستهای مجاور را در روشهای مختلف شناسایی و مقایسه نمود.

در برخی از روشها [۱-۵] با ارائه مدلهای نسبتاً ساده و تقریبی برای خطوط بلند، استفاده از آنها برای خطوط انتقال کوتاه بویژه به صورت دومداره و با اسپنهای و مقاومت پای دکلهای متفاوت و همچنین با لحاظ کردن سیستم زمین پست مجاور در محاسبه ضریب تقسیم جریان اتصال زمین غیرممکن است.

## ۱. مقدمه

جریانهای اتصال زمین در هر نقطه‌ای از خطوط انتقال (مطابق شکل (۱)) از طریق مقاومت زمین پای دکلهای و سیمهای زمین (محافظ) و همچنین از طریق شبکه‌های زمین پستها و هادیهای فاز در مجاورت نقطه اتصالی شده امکان برگشت و ایجاد مسیر بسته می‌یابند. در این صورت برای یافتن سهم جریان اتصال زمین عبوری از شبکه زمین پست موردنظر باید جریان عبوری از تمامی مسیرهای مذکور محاسبه گردد و بدین منظور مدلسازی کلیه خطوط انتقال در مجاورت محل خط و زمین پستهای نزدیک ضروری است.

تاکنون فعالیتهای تحقیقاتی متعددی برای محاسبه ضریب تقسیم جریان اتصال زمین عبوری از سیستم زمین پستها ارائه گردیده است [۱-۸]. برای ارزیابی قوت روشهای ارائه شده باید امکان پذیری و سهولت در نظرگرفتن اندوکتانس متقابل هادیهای فاز و سیمهای محافظ، اسپنهای نامساوی خطوط، مشخصات متفاوت خاک در محل دکلهای، تعدد سیمهای محافظ، ساختار دومداره غیرهمسان



شکل ۱. خطوط انتقال متصل به پست موردنظر

در این مقاله روشی کاربردی، ساده و دقیق برای مدلسازی مسیرهای عبور جریان اتصال زمین و محاسبه ضریب تقسیم آن جریان جهت طراحی مناسب شبکه زمین ارائه گردیده است که

این مقاله در تاریخ ۸۴/۱۲/۲۰ دریافت و در تاریخ ۸۶/۶/۱ به تصویب نهایی رسیده است.

دکتر سیدمحمدشهرتاش، گروه قدرت و قطب علمی اتوماسیون و بهره‌برداری سیستم‌های قدرت، دانشکده برق، دانشگاه علم و صنعت ایران. shahrtaash@iust.ac.ir

نبی‌اله رضانی، دانشجوی دکتری برق- قدرت، دانشکده برق، دانشگاه علم و صنعت ایران. n\_ramezani@iust.ac.ir

برای مجموعه سیم زمین و دکل‌های خط انتقال در شکل ۲ را محاسبه نمود:

$$Z_{S_k} = Z_g \times l_{S_k} \quad (۳)$$

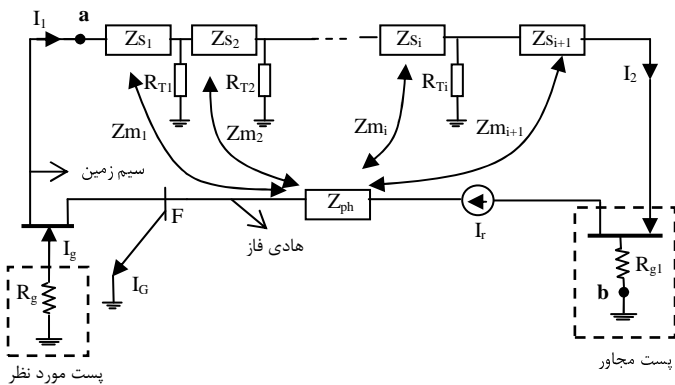
در رابطه (۳)،  $l_{S_k}$  طول اسپن  $k$  ام خط انتقال ( $m$ ) است. علاوه بر این، در شکل ۲، هر امپدانس  $Z_{S_k}$  با امپدانس هادی فاز ( $Z_{ph}$ ) دارای امپدانس متقابل در واحد طول برابر با رابطه زیر است [۲]:

$$Z_{gmi} = 9.87 \times 10^{-7} f + j28.94 \times 10^{-7} f \log_{10} \left( \frac{D_e}{GMD_{sep}} \right) \quad (۴)$$

که  $GMD_{sep}$  در رابطه فوق فاصله متوسط هندسی بین سیم زمین و هادیهای فاز است.

**ج- شبکه زمین پست مورد نظر:** به صورت مقاومت  $R_g$ .

**د- شبکه زمین پست (یا پستهای) مجاور:** به صورت مقاومت  $R_{gk}$ .



شکل ۲. مدل دقیق شبکه متصل به نقطه اتصال کوتاه

در موارد فوق جریان اتصال کوتاه ( $I_G$ ) عبوری از محل خطا از محاسبات اتصال کوتاه در شبکه قدرت بدست می‌آید.

### ۳. روش جدید پیشنهادی

به منظور تسهیل محاسبات و حفظ دقت، در روش پیشنهادی تاثیر متقابل هادیهای فاز و سیمهای محافظ در مرحله دوم در نظر گرفته می‌شود.

بر این اساس و در مرحله اول مدار معادل برای سیم زمین، مقاومت زمین پای دکلها و شبکه زمین پستهای مجاور تعیین می‌گردد. سپس با در نظر گرفتن تاثیر امپدانس متقابل هادیهای فاز و سیمهای محافظ، توزیع جریان اتصال زمین میان شبکه زمین پست مورد نظر و سیم زمین و شبکه زمین پستهای مجاور مشخص می‌شود. مراحل پیاده سازی روش بقرار زیر است:

قابلیت لحاظ کردن کلیه شاخصهای فوق را در خطوط بلند و کوتاه داراست.

شایان ذکر است که با توجه به نتایج ارائه شده در این مقاله، در برخی موارد از قبیل خطوط انتقال کوتاه با اسپنهای مساوی و نامساوی و همچنین خطوط انتقال بلند با اسپنهای نامساوی از تاثیر طول متفاوت اسپنها، مقاومتهای نامساوی پای دکلها و مقاومت شبکه زمین پست مجاور نمی‌توان صرف نظر کرد در حالیکه در برخی از روشهای ارائه شده این پارامترها در محاسبه ضریب تقسیم جریان اتصال زمین در نظر گرفته نمی‌شوند.

## ۲. مدلسازی شبکه برای محاسبه توزیع جریان خطای

### زمین

همانگونه که اشاره شد و مطابق شکل ۲ که شبکه‌ای با دو پست و یک خط انتقال هوایی میان آن دو را نشان می‌دهد، برای محاسبه ضریب تقسیم جریان اتصال زمین، بخش‌های زیر در قالب یک مدار مدلسازی و به یکدیگر متصل می‌گردند.

**الف. هادی فاز اتصال زمین شده:** به صورت امپدانس  $Z_{ph}$  که برابر امپدانس خودی هادی فاز بوده و منبع جریان ( $I_r$ ) که مقدار آن از نتایج محاسبه اتصال کوتاه در شبکه قدرت بدست می‌آید.

**ب- سیم محافظ و دکلها به همراه مقاومت پای آنها:** به صورت یک مدار امپدانس-مقاومتی نزدبانی به تعداد اسپنها که در آن  $R_{Tk}$  مقاومت زمین پای هر دکل و  $Z_{S_k}$  در هر اسپن برابر امپدانس خودی سیم محافظ در اسپن  $k$  ام بوده و مطابق روابط زیر محاسبه می‌شود [۲]:

$$Z_g = r_g + 9.87 \times 10^{-7} f + j28.94 \times 10^{-7} f \log_{10} \frac{D_e}{GMR} \quad (۱)$$

در حالیکه:

$Z_g$ : امپدانس خودی سیم زمین در واحد طول ( $\Omega/m$ )

$r_g$ : مقاومت سیم زمین در واحد طول ( $\Omega/m$ )

$f$ : فرکانس شبکه (Hz)

$D_e$ : عمق معادل برگشت زمین ( $m$ ) که از رابطه زیر محاسبه

می‌شود [۲]:

$$D_e = 658.4 \sqrt{\frac{\rho}{f}} \quad (۲)$$

$\rho$ : مقاومت ویژه زمین ( $\Omega.m$ )

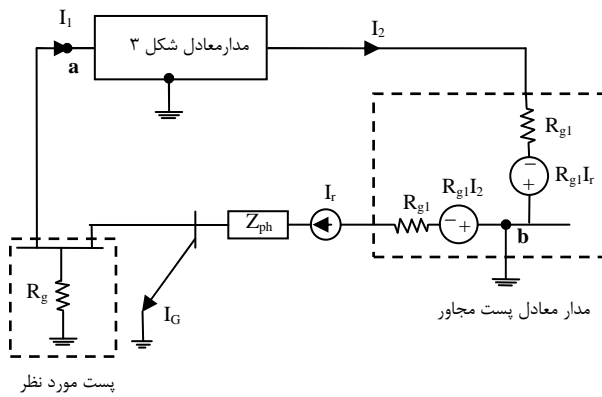
$GMR$ : شعاع متوسط هندسی سیم زمین ( $m$ )

پس از محاسبه امپدانس خودی سیم زمین ( $Z_g$ ) از رابطه (۳) می‌توان امپدانس شاخه‌های سری ( $Z_{S_k}$ ) شبکه نزدبانی ارائه شده

$$\begin{bmatrix} V_1 \\ I_1 \end{bmatrix} = \begin{bmatrix} T_{11} & T_{12} \\ T_{21} & T_{22} \end{bmatrix} \begin{bmatrix} V_2 \\ I_2 \end{bmatrix} \quad (8)$$

### ۳-۲. ترکیب شبکه زمین پستهای مجاور و مدار معادل سیم زمین و دکلها

در این مرحله، شبکه زمین پست مجاور در شکل ۲ به صورت شکل ۵ درمی‌آید، که در آن جریان عبوری از فاز به ازای اتصال زمین (که از نتایج محاسبات اتصال کوتاه در شبکه قدرت بدست آمده و معلوم فرض می‌شود) و  $I_2$  جریان ورودی به پست مجاور از طریق سیم زمین است (که در ادامه محاسبات به مقدار آن نیازی نیست).

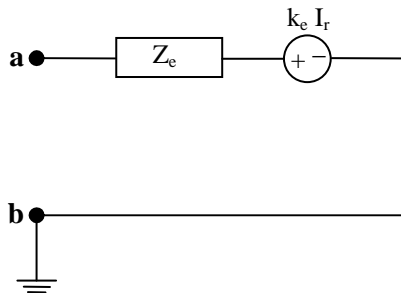


شکل ۵. تاثیر مقاومت شبکه زمین پست مجاور در مدار معادل

میان دو نقطه a و b به صورت شکل ۶ درمی‌آید، که در آن پارامترهای مربوطه به قرار زیر محاسبه می‌شوند:

$$Z_e = \frac{T_{11}(Z_{s_{n+1}} + R_{g1}) + T_{12}}{T_{21}(Z_{s_{n+1}} + R_{g1}) + T_{22}} \quad (9)$$

$$k_e = \frac{T_{12}R_{g1}}{Z_{s_{n+1}} + R_{g1}} - \frac{T_{22}R_{g1}[T_{11}(Z_{s_{n+1}} + R_{g1}) + T_{12}]}{[T_{21}(Z_{s_{n+1}} + R_{g1}) + T_{22}](Z_{s_{n+1}} + R_{g1})} \quad (10)$$



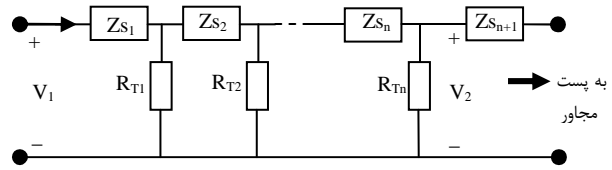
شکل ۶. معادل تونن سیم زمین و دکلهای خط انتقال

### ۳-۳. مدار معادل نهایی

با جانشینی مدار معادل شکل ۶ در شکل ۵ (که بر مبنای شکل ۲، بررسی تقسیم جریان اتصال زمین در مجاورت یک پست را نمایش

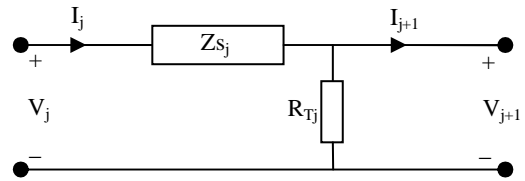
### ۳-۱. محاسبه مدار معادل سیم زمین و مقاومت زمین دکلها

با حذف امپدانسهای متقابل میان هادیهای فاز و سیم زمین در شکل ۲، مدار معادل سیم زمین، مقاومت زمین پای دکلها و شبکه زمین پست مجاور به صورت شکل ۳ درمی‌آید. در شکل مذکور هیچگونه محدودیتی برای مختلف بودن طول اسپننها (که با امپدانسهای  $Z_{S_j}$  نمایش داده شده‌اند) و مقادیر مقاومت پای دکلها (که با  $R_{T_j}$  به نمایش درآمده‌اند) وجود ندارد و بدین ترتیب محاسبات مربوط در کلی‌ترین حالت انجام می‌گیرد.



شکل ۳. مدار معادل سیم زمین و دکلهای خط انتقال

برای محاسبه تابع انتقال مدار فوق، در ابتدا تابع انتقال مربوط به مدار معادل یک اسپن از سیم زمین و دکل مربوطه به ترتیب زیر محاسبه می‌گردد:



شکل ۴. مدار معادل یک اسپن از سیم زمین و دکل مربوطه

در شکل ۴، روابط بین جریان و ولتاژ ورودی و خروجی را به کمک رابطه ماتریسی زیر می‌توان نوشت:

$$\begin{bmatrix} V_j \\ I_j \end{bmatrix} = \begin{bmatrix} t_{j1} & t_{j2} \\ t_{j3} & t_{j4} \end{bmatrix} \begin{bmatrix} V_{j+1} \\ I_{j+1} \end{bmatrix} = T_j \cdot \begin{bmatrix} V_{j+1} \\ I_{j+1} \end{bmatrix} \quad (5)$$

در رابطه (۵)، درایه‌های ماتریس  $T_j$  به ترتیب زیر محاسبه می‌گردند:

$$t_{j1} = 1 + \frac{Z_{S_j}}{R_{T_j}}, \quad t_{j2} = Z_{S_j}, \quad t_{j3} = \frac{1}{R_{T_j}}, \quad t_{j4} = 1 \quad (6)$$

با استفاده از تابع تبدیل  $T_j$  محاسبه شده در بالا، رابطه میان ولتاژ و جریان ابتدایی و انتهایی مدار را در شکل ۳ به ترتیب زیر در می‌آید:

$$T = \prod_{j=1}^n T_j = \begin{bmatrix} T_{11} & T_{12} \\ T_{21} & T_{22} \end{bmatrix} \quad (7)$$

و در نتیجه:

با توجه به مدار معادل فوق جریانهایی  $I_{e1}$  تا  $I_{eN}$  مطابق رابطه زیر محاسبه می‌شوند:

$$\begin{bmatrix} R_g + Z_{e1} & R_g & \dots & R_g \\ R_g & R_g + Z_{e2} & \dots & R_g \\ \vdots & \vdots & \dots & \vdots \\ R_g & \dots & R_g & \dots & R_g + Z_{eN} \end{bmatrix} \begin{bmatrix} I_{e1} \\ I_{e2} \\ \vdots \\ I_{eN} \end{bmatrix} = \begin{bmatrix} (Z_{m1} - k_{e1})I_{r1} - R_g(I_G - \sum_{i=1}^N I_{ri}) \\ (Z_{m2} - k_{e2})I_{r2} - R_g(I_G - \sum_{i=1}^N I_{ri}) \\ \vdots \\ (Z_{mN} - k_{eN})I_{rN} - R_g(I_G - \sum_{i=1}^N I_{ri}) \end{bmatrix} \quad (12)$$

بر این اساس، در حالیکه:

$$I_g = I_G - \sum_{j=1}^n (I_{rj} - I_{ej}) \quad (13)$$

$S_f$  در پست موردنظر بقرار زیر محاسبه می‌گردد:

$$S_f = \frac{I_g}{I_G} = 1 - \frac{\sum_{j=1}^n (I_{rj} - I_{ej})}{I_G} \quad (14)$$

#### ۴. نتایج روش پیشنهادی

همانگونه که نشان داده شد، روش پیشنهادی در حالت کلی و بدون هیچگونه محدودیت در اندازه و تعداد اسپینهای خطوط انتقال متصل به پست، ساختار دو مداره غیرهمسان در خطوط، متعدد بودن سیمهای محافظ، غیرهمسان بودن مقاومت زمین پای دکلها، لحاظ کردن شبکه زمین در پستهای مجاور و محل خطا می‌تواند ضریب  $S_f$  را محاسبه نماید، درحالیکه هیچکدام از روشهای پیشین از چنین قابلیت‌هایی به صورت یکپارچه برخوردار نیستند.

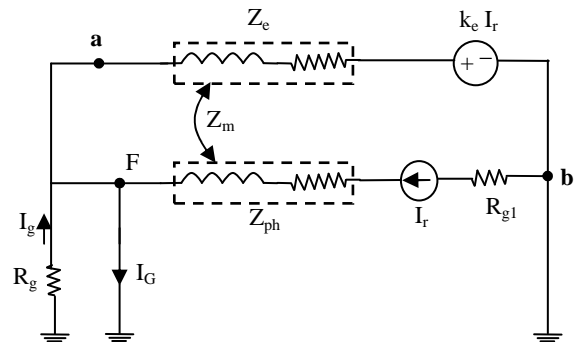
با این حال به منظور امکان پذیر شدن مقایسه، نتایج روش پیشنهادی با نتایج شبیه سازی روشهای [۲] (از روشهای تقریبی) و [۷] (از روشهای تحلیلی)، دو مطالعه موردی بر روی شبکه استاندارد [۹] (که اطلاعات آن در پیوست ۱ ارائه شده است)، و نیروگاه کرخه (با اطلاعات پیوست ۲) صورت گرفته که نتایج آن در ادامه ارائه شده‌اند.

#### ۴-۱. تاثیر تعداد اسپینهای خطوط انتقال

شکل ۹ تاثیر تعداد اسپینهای یک خط انتقال با مشخصات ارائه شده در شبکه استاندارد [۹] را بر توزیع جریان اتصال کوتاه با روش ارائه شده در این مقاله و روش مرجع [۲] و همچنین روش تحلیلی ارائه شده در مرجع [۷] نشان می‌دهد.

داده است)، مدار معادل نهایی به صورت شکل ۷ درمی‌آید، که در این مرحله می‌توان اثر امپدانس متقابل میان سیم زمین و هادی فاز را لحاظ نمود. مقدار امپدانس متقابل از رابطه زیر محاسبه می‌شود:

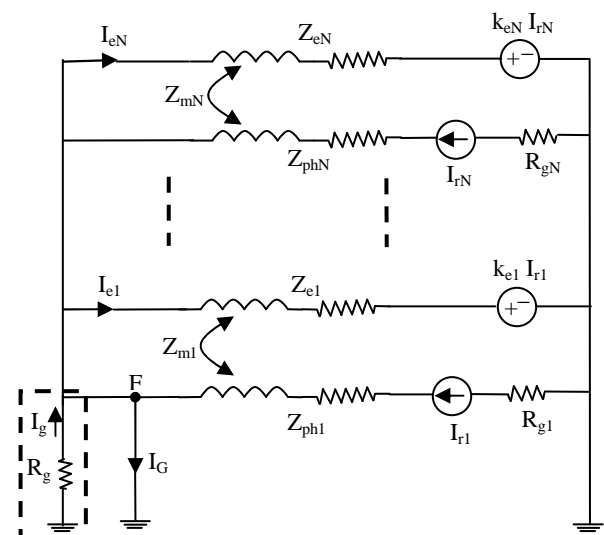
$$Z_{mi} = Z_{gmj} \times (Z_{ej} / Z_{gj}) \quad (11)$$



شکل ۷. مدار معادل نهایی به ازای یک پست مجاور

#### ۳-۴. محاسبه توزیع جریان اتصال کوتاه

مدار معادل شکل ۷ برای تعمیم محاسبات به پستهای مجاور متعدد به صورت شکل ۸ در می‌آید که در آن نقطه F محل وقوع اتصال زمین و  $I_g$  جریان اتصال زمین عبوری از شبکه زمین پست موردنظر است و نسبت مقدار آن به مقدار  $I_G$  (جریان اتصال زمین که از نتایج محاسبات اتصال کوتاه شبکه قدرت به دست آمده و معلوم فرض می‌شود)، ضریب تقسیم جریان  $S_f$  را نشان می‌دهد.

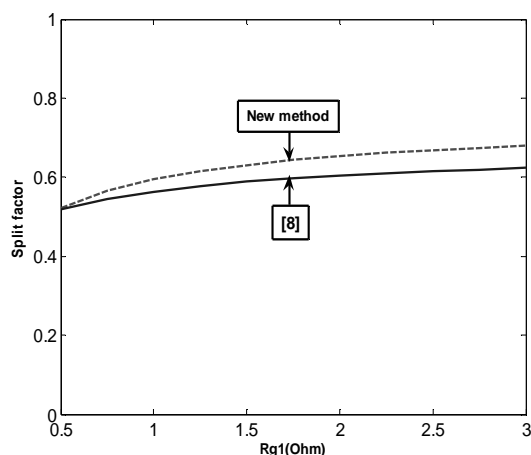


پست مورد نظر

شکل ۸. مدار معادل برای محاسبه توزیع جریان

<sup>1</sup> Split factor

زمین می گردد. البته روش مرجع [۷] در شرایط واقعی از پست و خطوط شبکه قدرت که روش پیشنهادی به سادگی ضریب تقسیم جریان را تعیین می نماید امکان پاسخ دهی مناسب را ندارد.



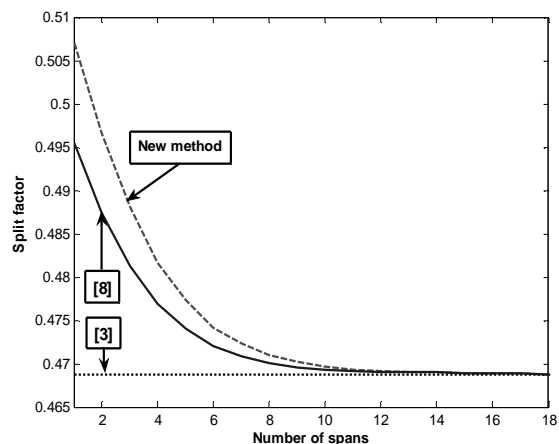
شکل ۱۰. مقایسه روش ارائه شده و مرجع [۷] برای شبکه ساده شده کرخه

#### ۵. نتیجه گیری

برای محاسبه جریان اتصال کوتاه دقیق ورودی به پست جهت طراحی و احداث شبکه زمین ایمن نیاز به مدلسازی دقیق شبکه های انتقال متصل به پست و سیستم های زمین پستهای مجاور است. در این مقاله روشی کاربردی و دقیق برای محاسبه ضریب تقسیم جریان اتصال زمین در پستهای فشار قوی با انواع خطوط انتقال متصل به پست ارائه شده است و با برخی روشهای ارائه شده قبلی نیز مقایسه گردیده و نتایج خوبی حاصل گردیده است. این روش قادر است خطوط انتقال دومداره غیرهمسان با اسپنهای و مقاومتهای پای دکل نامساوی و همچنین شبکه های انتقال بزرگ و دارای سیمهای زمین هوایی متعدد را نیز تجزیه و تحلیل نموده و محاسبات را تسهیل کند.

#### مراجع

- [1] Popovic L.M., "Efficient Reduction of Fault Current Through the Grounding Grid of Substation Supplied by Cable Line", IEEE Trans. On Power Delivery, vol.15, No.2, April 2000, pp. 556-561.
- [2] Hans R.Seedher and etal, "A Practical Approach for Computation of Grid Current", IEEE Trans. on Power Delivery, vol.14, No.3, July 1999.
- [3] Popovic, L.M., "Practical Method for Evaluating Ground Fault Current Distribution in Station, Towers and Ground Wire", IEEE Trans. On Power Delivery, Vol.13, No.1, January 1998.
- [4] Popovic, L.M., "Practical Method for Evaluating Ground Fault Current Distribution in Station Supplied by An Unhomogeneous Line", IEEE Trans. On Power Delivery, vol.12, no.2, April 1997.



شکل ۹. مقایسه روش ارائه شده با مراجع [۲] و [۷]

همانطوریکه در شکل ۹ مشاهده می شود مدل ارائه شده در این مقاله در تمامی حالات با روش تحلیلی ارائه شده در مرجع [۷] و به ازای تعداد اسپنهای بالاتر از ۱۳ اسپن با مرجع [۲] مطابقت دارد. در نتیجه در حالیکه در خطوط کوتاه بدلیل خطای زیاد نمی توان از مرجع [۲] استفاده کرد و همچنین در خطوط کوتاه و بلند بدلیل پیچیدگی روش مرجع [۷] استفاده از آن در موارد اشاره شده در بخشهای قبلی مشکل و در برخی موارد غیرممکن است، روش پیشنهادی بخوبی و بسادگی در تمامی انواع خطوط متصل به پست می تواند پاسخ های دقیق ارائه نماید.

#### ۴-۲. مطالعه موردی برای محاسبه ضریب تقسیم جریان اتصال زمین

در این بخش ضریب تقسیم جریان اتصال زمین برای پست نیروگاهی کرخه با اطلاعات ارائه شده در پیوست ۲ محاسبه شده است. برای مقایسه روش پیشنهادی با روش تحلیلی مرجع [۷]، به دلیل آنکه شبکه مذکور دارای سیمهای زمین متعددی بوده و همچنین شبکه از خطوط دومداره غیرهمسان تشکیل شده است استفاده از روش مرجع [۷] برای محاسبه ضریب تقسیم جریان اتصال کوتاه بسیار مشکل است. بدین منظور با استفاده از اطلاعات شبکه موردنظر با فرض همسانی خط انتقال دو مداره و در نظر گرفتن یک سیم زمین هوایی، ضریب تقسیم جریان به ازای تغییرات مقاومت سیستم زمین پست همسایه با استفاده از روش ارائه شده در این مقاله و روش مرجع [۷] محاسبه گردیده که نتایج آن در شکل ۱۰ ارائه شده است. از آنجا که تأثیردهی امپدانس متقابل میان هادی فاز و سیم زمین در روش پیشنهادی بر مبنای مدلی کاربردی صورت گرفته است انتظار می رفت که نسبت به نتایج روش مرجع [۷] تفاوتی داشته باشد که حداکثر میزان خطا کمتر از ده درصد بوده و خوشبختانه باعث افزایش محسوس ایمنی در طراحی شبکه

[9] ANSI/ IEEE Std 80-2000, "IEEE Grounding for Safety in AC Substation Grounding", IEEE, 2000.

[5] Nahman. J.M., "Proximity Effects on the Ground Fault Current Distribution within the Earthing System Formed by a Substation and the Associated Transmission Lines", IEE Proceedings, Vol.135, No.6, November 1988.

پیوست ۱: اطلاعات خط انتقال مطابق استاندارد [۹]

[6] Meliopoulos. A.P., and etal, "Computation of Maximum Earth Current in Substation Switchyards", IEEE Trans. On Power Apparatus and Systems, vol. PAS-102, No.9, September.1983, pp. 3131-3139.

جدول پ-۱. مشخصات خط انتقال مورد نظر

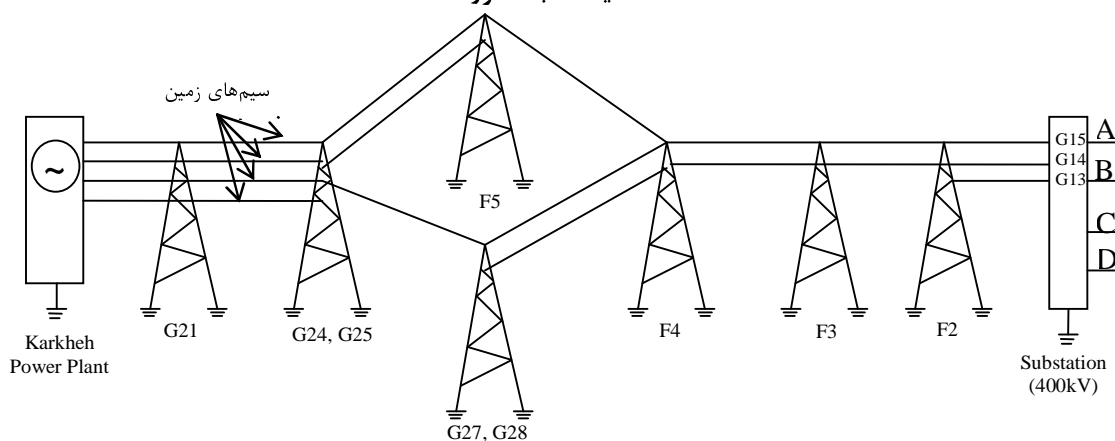
f(Hz)	50
$Z_g (\Omega/km)$	(7+j1.3)
$Z_{gm} (\Omega/km)$	0.0494+0.386
Span(m)	300
$R_T (\Omega)$	10
$R_g (\Omega)$	0.5
$R_{g1} (\Omega)$	0.5

[7] Dawalibi. F., "Ground Fault Current Distribution Between Soil and Neutral Conductors", IEEE Trans. On Power Apparatus and System, Vol. PAS-99, No.2, March/April 1980, pp. 452-461

[8] Verma. R., D.Mukhedkar, "Ground Fault Current Distribution Substation, Towers and Systems", IEEE Trans. On Power Apparatus and Systems, Vol. PAS-98, No.3, May/June 1979, pp. 724-730.

پیوست ۲:

الف. شماتیک شبکه مورد مطالعه



شکل پ-۱. شبکه، نیروگاه و پست کرخه

ب. اطلاعات شبکه کرخه

جدول پ-۲. مشخصات خط انتقال واسط بین نیروگاه و پست کرخه

$Z_s(ohm)$	تعداد سیم زمین	طول اسپین (m)	انتهای اسپین	ابتدای اسپین
0.063+j0.049	4	55	G21	P/P (نیروگاه)
0.07+j0.054	4	61	G24, G25	G21
0.074+j0.057	1	64.7	F5	G24
0.062+j0.048	1	54	F5	G25
0.049+j0.038	1	42.5	G28	G25
0.05+j0.039	1	44	F4	G27
0.072+j0.055	1	62.6	F4	G28
0.099+j0.076	1	86	F4	F5
0.145+j0.111	1	125.9	F3	F4
0.14+j0.107	1	121.2	F3	F4
0.13+j0.098	1	111.2	F2	F3
0.122+j0.094	1	105.8	F2	F3
0.13+j0.098	1	111.2	G13	F2
0.12+j0.091	1	102.4	G14	F2
0.112+j0.086	1	97.8	G15	F2
0.068+j0.052	2	59.3	D/C	G13/G14
0.066+j0.051	2	57.3	B/A	G14/G15